



شیمی کانی‌ها و ژئوشیمی دگرسانی پروپلیتیک در گرانیتوئید آستانه (جنوب غرب اراک)

رحیمه میکائیلی^{۱*}، موسی نقره ئیان^۱، محمدعلی مکی‌زاده^۱، بتول تقی‌پور^۲، زهرا طهماسبی^۳

۱- گروه زمین‌شناسی، دانشکده علوم، دانشگاه اصفهان

۲- گروه زمین‌شناسی، دانشکده علوم، دانشگاه شیراز

۳- گروه زمین‌شناسی، دانشکده علوم، دانشگاه لرستان

(دریافت مقاله: ۸۷/۱۲/۱۸، نسخه نهایی: ۸۸/۶/۲۸)

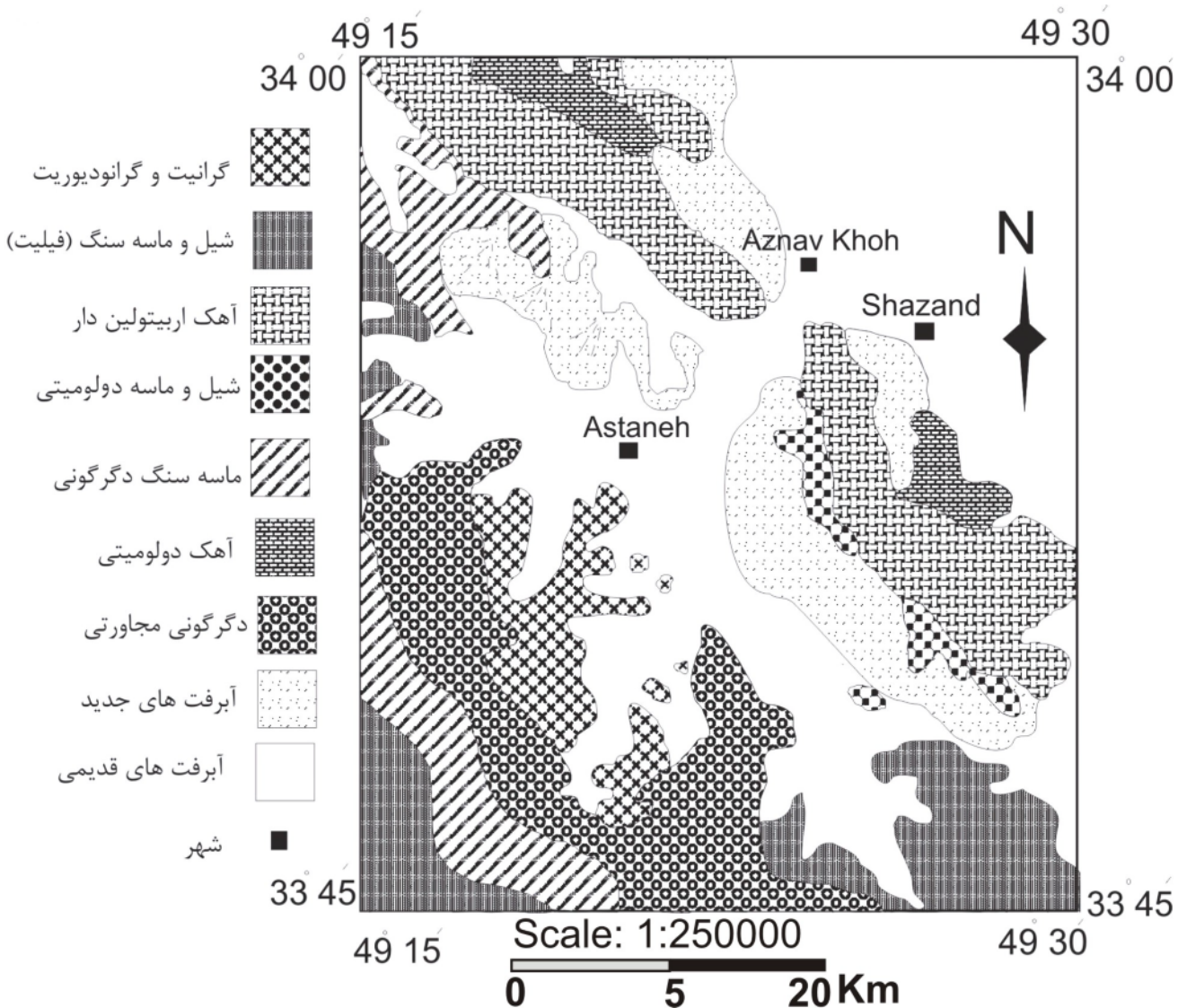
چکیده: توده‌ی گرانیتوئیدی آستانه در جنوب غرب شهرستان اراک در زون سندج سیرجان واقع شده است. این توده تحت تاثیر گرمابی‌ها دگرسان شده و دگرسانی پروپلیتیک یکی از دگرسانی‌های گسترش یافته در این گرانیتوئید است. اسفن، پرہنیت و کوارتز از کانی‌های تشکیل دهنده‌ی این زون دگرسانند. میانگین پیستاشیت در کانی اپیدوت ۲۴ درصد است و بر این اساس اپیدوت-ها ناشی از سوسوریتی شدن پلازیوکلازها هستند. بر اساس نمودار Al نسبت به Fe، اسفن‌ها ثانویه و ناشی از دگرسانی هستند. پرہنیت‌ها غنی‌شدگی کمی از آهن داشته و بر این اساس در دمای پایین و فوگاسیتی کم اکسیژن تشکیل یافته‌اند. بهنجارسازی سنگ‌های دگرسان به سنگ مادر، بیانگر تهی‌شدگی از عناصر کمیاب است و از دگرسانی پروپلیتیک به فیلیک تهی‌شدگی افزایش می‌یابد. تغییرات اکسیدهای اصلی نسبت به اکسید کم تحرک Al_2O_3 - Na_2O در تمام زون‌ها به جز از زون فیلیک است که دلیلی بر کاهش بازی شدن پلازیوکلازهاست. CaO در زون پروپلیتیک افزایش یافته و MgO تنها اکسیدی است که از تمام زون‌ها تهی‌شده است.

واژه‌های کلیدی: دگرسانی گرمابی، پروپلیتیک، تورمالینی شدن، فیلیک، گرانیتوئید، آستانه، جنوب غربی اراک.

میکروگرانیوپلیتی در سنگ‌های منطقه شده است. توده‌ی نفوذی بروجرد در غرب این توده قرار گرفته و به نظر می‌رسد که رویدادهای حاکم بر توده‌ی نفوذی بروجرد بر این توده نیز حکم فرما بوده است و از گذشته‌ی زمین‌شناسی تقریباً مشابهی برخوردارند. اولین رخداد ماجماتیسم گستردگ در منطقه به پیش از کرتاسه می‌رسد و پروتوولیت مربوط به گنیس‌های چشمی، گرانیت تعیین شده است [۲]. توده‌ی گرانیتوئیدی تحت تاثیر گرمابی‌ها دگرسان شده است، دگرسانی‌های فیلیک، پروپلیتیک، دگرنهادی بور(تورمالین زایی) و سیلیس‌زایی از

مقدمه توده‌ی گرانیتوئیدی آستانه در زون ساختاری سندج-سیرجان شمالی واقع شده است و از نظر موقعیت جغرافیایی در طول-های جغرافیایی $۳۰^{\circ} ۱۷^{\prime} ۴۹^{\prime\prime}$ تا $۳۳^{\circ} ۳۰^{\prime} ۵۴^{\prime\prime}$ و عرض-های $۴۹^{\circ} ۲۲^{\prime}$ تا $۴۶^{\circ} ۴۶^{\prime}$ قرار گرفته است. این توده در سنگ‌های دگرگون ژوراسیک نفوذ کرده و منجر به تشکیل هاله‌های دگرگونی شده است (شکل ۱) [۱]. پس از تشکیل هاله‌ی دگرگونی، شاره‌های حاصل از سردشدن توده باعث تشکیل رگه‌های کوارتز تورمالین و نفوذ دایک‌های

* نویسنده مسئول، تلفن: ۰۹۱۴ ۳۵۷۴۲۹۹، نامبر: ۷۹۳۲۱۵۲، پست الکترونیکی: Ra.miekayle@yahoo.com



شکل ۱ نقشه‌ی ساده شده‌ی زمین‌شناسی منطقه بر گرفته از نقشه ۱:۲۵۰۰۰ خرم آباد.

روش انجام کار

در این مقاله به منظور شناسایی کانی‌های دگرسان از میکروسکوپ قطبندی Olympus BX-60 استفاده شده است و به منظور تعیین فرمول ساختاری آنالیز نقطه‌ای روی کانی‌های اپیدوت، اسفن و پرهنیت در دانشگاه Huelva اسپانیا انجام گرفت. این آنالیزها با دستگاه ریزپردازنده‌ی مدل XA-8222 و با ولتاژ ۱۵ کیلو الکترون ولت و جریان ۵ نانو آمپر صورت گرفته است.

آنالیز شیمی سنگ (ICP-MS) بر روی نمونه‌های دگرسان و سالم در آزمایشگاه ALS Chemex کانادا صورت گرفته

دگرسانی‌های معمول در این توده‌اند. گسترش کانی کلریت در دگرسانی پروپلیتیک می‌تواند به عنوان یک دگرسانی مستقل در نظر گرفته شود، همچنین دگرسانی آرژیلیک حدواسط نیز در منطقه شناسایی شده است. این گرانیت‌وئید و دگرسانی‌های آن به‌سبب وجود کانی‌سازی طلا از دیر باز همواره مورد پژوهش زمین‌شناسان بوده است [۳]. حضور طلا در این توده نفوذی وابسته به دگرسانی فیلیک و رگه‌های کوارتز-سولفید است. در این مقاله دگرسانی پروپلیتیک برای اولین بار به‌طور مشروح مورد بررسی قرار گرفته است.

تورمالین بستگی دارد و در پاره‌ای از موارد کانی تورمالین دوباره متبلور شده و منجر به تشکیل تورمالین در گرانیتوئید در اثر عملکرد گرمابی‌های غنی از بور شده است. دگرسانی پروپلیتیک نیز در منطقه دارای گسترش چشم‌گیری است، این دگرسانی در منطقه به صورت فراگیر رخ داده است و غالب کانی‌های اولیه با کانی‌های جدید جایگزین شده‌اند. نوع کانی‌های موجود در این زون در اثر عواملی از قبیل دما، ترکیب کانی‌شناسی سنگ اولیه و ترکیب شیمیایی آبگون کنترل می‌شود. اپیدوت، کلریت، آلبیت، اسفن، پرهنیت، پیریت و کوارتز از کانی‌های موجود در این دگرسانی هستند. از عوامل مهم در تشخیص صحرایی این دگرسانی رنگ سبز آن است که منجر به جدایش این دگرسانی می‌شود (شکل ۲-۶)، این رنگ به کانی‌های کلریت و اپیدوت وابسته است. هم رشدی کانی کوارتز با اپیدوت منجر به تشکیل بافت شانه‌ای شده است که در نمونه‌های ماکروسکوبی و میکروسکوبی قابل مشاهده است در این بافت کوارتز و اپیدوت به صورت ردیف‌های سفید و سبز رنگ در کنار یکدیگر قرار گرفته‌اند. کانی اپیدوت به صورت رگه‌ای نیز تشکیل یافته است، این کانی در اثر دگرسانی کانی‌های بیوتیت و پلازیوکلاز تشکیل شده است. فراوانی کانی کلریت در این دگرسانی آن را به عنوان یک دگرسان مجزا به حساب می‌آورد. گسترش جانشینی کانی‌های اولیه در این دگرسانی چشم‌گیر بوده و در ادامه به تشریح شیمی کانی این دگرسانی پرداخته می‌شود.

شیمی کانی اپیدوت

اپیدوت یکی از کانی‌های شاخص در دگرسانی پروپلیتیک منطقه است، این کانی در مقاطع میکروسکوبی و ماکروسکوبی اغلب با کانی کوارتز هم رشد بوده و بافت شانه‌ای نشان می‌دهند (Comb texture). روابط بافتی حاکی از تشکیل اپیدوت طی سوسوریتی شدن پلازیوکلازهاست [۴]. افزایش شاره‌ها همراه با افزایش فعالیت CO_2 در فرایند گرمابی منجر به تشکیل دگرسانی پروپلیتیک با کانی‌های اپیدوت، کوارتز، کلریت، اسفن، پیریت و پرهنیت شده است (شکل ۲-۷ و ۲-۸) (علائم اختصاری بکار رفته بر گرفته از Kretz, 1983 است)، تشکیل اپیدوت بنابر واکنش زیر صورت می‌گیرد [۵]:

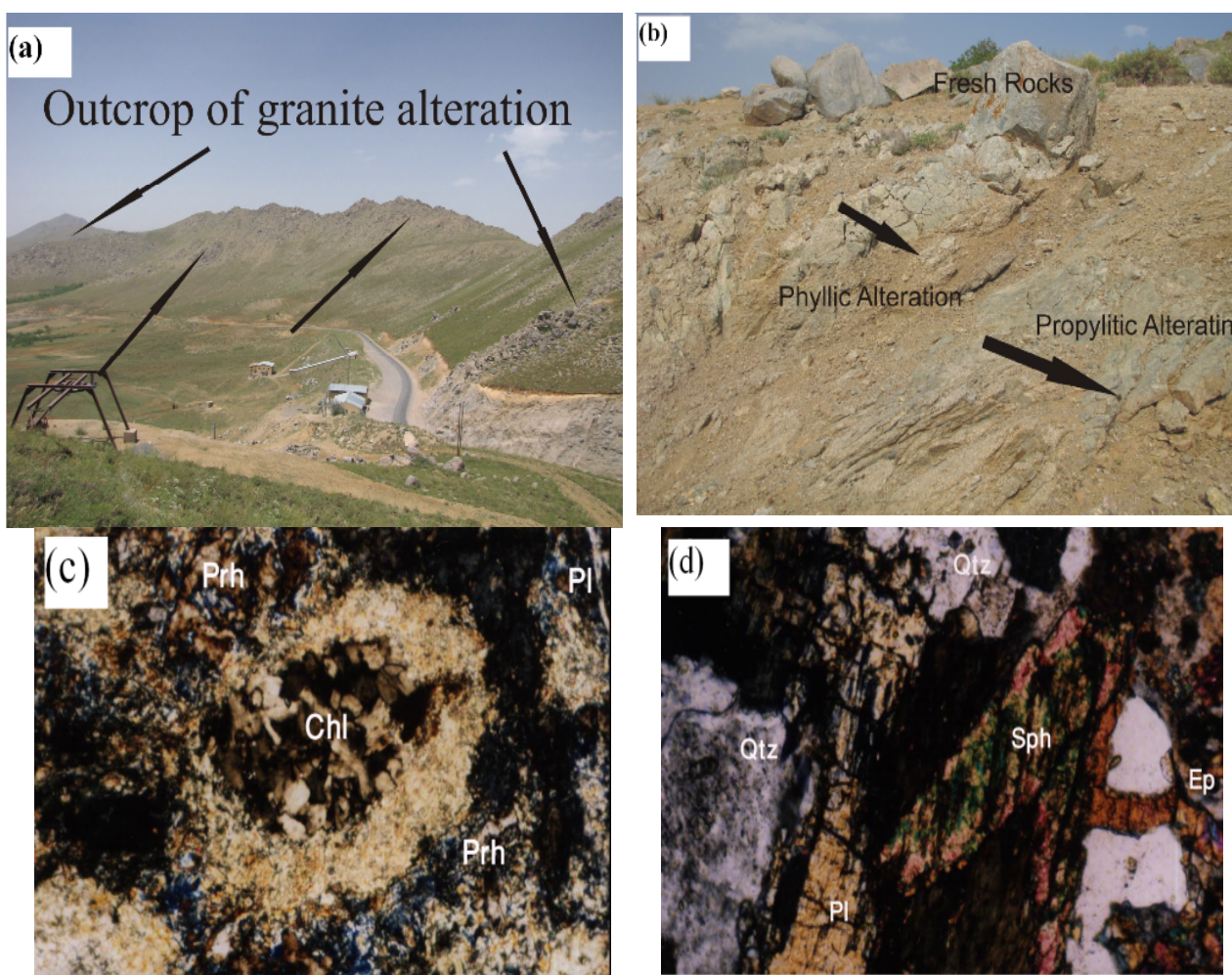
$$2(\text{NaAlSi}_3\text{O}_8 + \text{CaAl}_2\text{Si}_2\text{O}_8) + 2\text{SiO}_2 + \text{Na}^+ + \text{H}_2\text{O} = \text{Ca}_2\text{Al}_3\text{Si}_3\text{O}_{12}(\text{OH}) + 3\text{NaAlSi}_3\text{O}_8 + \text{H}^+$$

است. برای ترسیم نمودارها از نرم افزارهای Minpet, Newpet, AX استفاده شد و مورد پردازش قرار گرفت.

بحث و بررسی

توده‌ی گرانیتوئیدی آستانه از سه ترکیب اصلی گرانیت، گرانودیوریت و کوارتز مونزونیت تشکیل شده است و ترکیب غالب این توده، گرانودیوریت است. کوارتز، پلازیوکلاز، فلدسپار قلیایی از کانی‌های اصلی، بیوتیت و آمفیبول از کانی‌های جزئی این توده به حساب می‌آیند. بیوتیت گرانیت‌ها از دیگر واحدهای موجود در منطقه‌اند که کمتر دستخوش دگرسانی شده‌اند و به نظر می‌رسد جوانتر از واحدهای دیگر موجود باشند. از ویژگی‌های قابل ملاحظه در این توده عملکرد رگه‌های کوارتز - سولفید، کوارتز تورمالین و دایک‌های گرانیتوئیدی است که توده‌ی نفوذی را تحت تاثیر قرار داده‌اند و به عنوان جدیدترین واحدهای منطقه به شمار می‌آیند. عملکرد آبگون‌های جوی و ماغمایی باعث دگرسانی گرمابی در توده‌ی نفوذی شده است، در نتیجه تغییرات کانی‌شناسی متناسب با ترکیب گرمابی‌ها در توده‌ی گرانیتوئیدی صورت گرفته است.

عملکرد گرمابی‌ها منجر به تشکیل دگرسانی‌های مختلفی شده است (شکل ۲-۸) که از جمله‌ی آن‌ها دگرسانی‌های مشاهده شده در منطقه می‌توان به دگرسانی فیلیک (گستردۀ ترین)، پروپلیتیک، آرزیلیک حدواسط و سیلیس زایی اشاره کرد. لازم به یادآوری است که دگرنهادی پتاسیک-سدیک نیز در منطقه رخ داده است و در اثر عملکرد شاره‌های غنی از پتاسیم، موسکویت‌های ثانویه تشکیل شده‌اند که در اغلب موارد دارای ابعاد بزرگ‌ند، در پاره‌ای موارد سریسیت‌های کوچک مرحله اول دگرسانی به موسکویت‌های پورفیری درشت تر تبدیل شده‌اند. دگرنهادی پتاسیک رخ داده در منطقه، متفاوت از دگرسانی پتاسیک رخ داده در سیستم‌های پورفیری است، بنابراین کانی‌های تشکیل شده نیز متفاوتند. رخداد دگرنهادی سدیک در منطقه منجر به تغییر کانی‌شناسی پلازیوکلازها و آلبیتی شدن آن‌ها شده است. تورمالینی شدن یا دگرنهادی نیز در چند ناحیه از گستره‌ی مورد بررسی صورت گرفته است، این فرایند منجر به ایجاد هاله‌ای سفید رنگ با لکه‌های سیاه پراکنده در گرانیتوئیدها شده است. این لکه‌های سیاه به انبوهه شدن



شکل ۲ (a) بروند سنگ‌های دگرسان در منطقه مورد بررسی. (b) رخنمون دگرسانی پروپولیتیک در منطقه مورد بررسی. (c) تشکیل کانی پرهنیت طی تجزیه پلازیوکلاز بازی (عدسی ۱۰۰، حالت XPL). (d) تصویر میکروسکوپی از کانی‌های اپیدوت و اسفن، بقایابی از پلازیوکلاز طی سوسوریتی شدن بر جای مانده است (۴۰، حالت XPL).

موجود در اپیدوت‌ها می‌توان درصد پیستاشیت را محاسبه کرد:

$$PS = 100 * \frac{Fe^{3+}}{(Fe^{3+} + Al)}$$

با توجه به درصد پیستاشیت، خاستگاه اپیدوت‌ها را می‌توان مورد شناسایی قرار داد و محیط تشکیل اپیدوت را به دست آورده. با توجه به این که میانگین پیستاشیت به دست آمده برای اپیدوت‌های منطقه ۲۴ درصد است (جدول ۳)، به نظر می‌رسد اپیدوت‌های منطقه ناشی از سوسوریتی شدن پلازیوکلازها بوده و طی دگرسانی تشکیل شده‌اند (شکل ۳). نرخ اکسایش سنگ‌پایداری اپیدوت‌ها در اغلب سیستم‌های فعال ۲۴۰–۲۶۰ درجه و PH‌های خنثی است.

اپیدوت و کلینو زوئیزیت از کانی‌های معمول در دگرسانی‌ها و دگرگونی‌های با درجه پایین تا متوسط‌اند. کانی مناسب برای تشکیل اپیدوت، پلازیوکلازهای بازی هستند، عملکرد گرمابی‌ها باعث می‌شود تا پلازیوکلازهای غنی از کلسیم تبدیل به آلبیت شوند و کلسیم آزاد شده در ساخت اپیدوت مورد استفاده قرار گیرد. اپیدوت‌ها دارای فرمول عمومی به شرح زیرند:

$$Ca_2Al_2(Fe^{3+}, Al)(SiO_4)(Si_2O_7)O(OH)$$

در اینجا فرمول ساختاری برای اپیدوت بر اساس ۱۲/۵ اکسیژن و ۸ کاتیون محسوبه شده است و نتایج در (جدول ۲، ۱) آورده شده‌اند. کانی اپیدوت می‌تواند طی فرایندهای اولیه و نیز در اثر عملکرد فرایندهای ثانویه از جمله فرایندهای پسا ماجماتیسم تشکیل شود. یکی از پارامترهای کلیدی برای تعیین خاستگاه اپیدوت‌ها میزان Fe^{3+} است، و با در نظر گرفتن میزان

جدول ۱ درصد وزنی اکسیدهای اصلی در کانی اپیدوت.

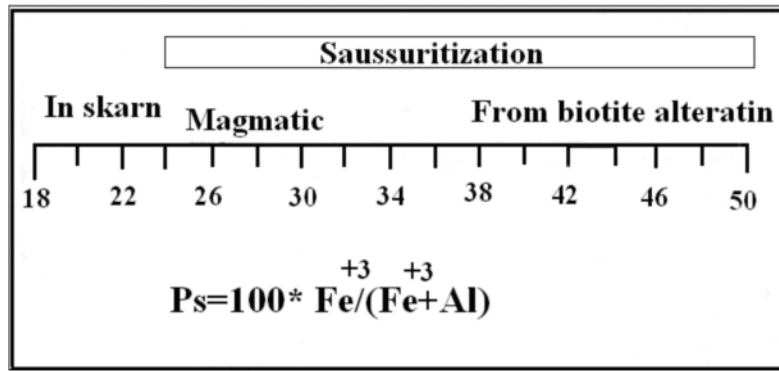
Sample	SiO ₂	Al ₂ O ₃	Cr ₂ O ₃	Fe ₂ O ₃	MgO	CaO	total
E-1	۳۷,۸۷	۲۲,۷۷	۰,۰۰	۱۰,۹۵	۰,۰۱	۲۲,۳۰	۹۵,۹۰
E-2	۳۷,۸۰	۲۲,۳۰	۰,۰۰	۱۱,۳۷	۰,۰۰	۲۲,۳۴	۹۵,۹۴
E-3	۳۷,۴۷	۲۲,۴۶	۰,۰۰	۱۲,۶۰	۰,۰۰	۲۲,۰۹	۹۵,۶۹
E-4	۳۷,۷۹	۲۲,۰۹	۰,۰۰	۱۱,۹۱	۰,۰۰	۲۲,۲۷	۹۶,۰۴

جدول ۲ محاسبه فرمول ساختاری کانی اپیدوت بر اساس ۱۲,۵ اکسیژن و ۸ کاتیون.

Sample	Si	Al ^{IV}	Al ^{VI}	Fe ³⁺	Mg	Ca	Sum_cat
E-1	۳,۰۵	۲,۲۵	۰,۰۰	۰,۶۶	۰,۰۰۱	۲,۰۱	۷,۹۸
E-2	۳,۰۵	۲,۰۲	۰,۰۰	۰,۶۹	۰,۰۰	۲,۰۲	۷,۹۹
E-3	۳,۰۴	۲,۱۵	۰,۰۰	۰,۷۷	۰,۰۰	۲,۰۱	۷,۹۸
E-4	۳,۰۵	۲,۱۹	۰,۰۰	۰,۷۲	۰,۰۰	۲,۰۱	۷,۸۹

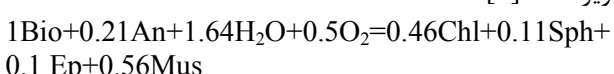
جدول ۳ محاسبه درصد پیستاشیت در کانی اپیدوت.

PS میانگین	E-4	E-3	E-2	E-1	نمونه
۲۳,۹۶	۲۳,۷۱	۲۲,۸	۲۴,۷۹	۲۶,۵۴	PS درصد



شکل ۳ نمودار تعیین خاستگاه اپیدوت بر اساس میزان پیستاشیت، که بر این اساس نمونه‌ها ناشی از سوسوریتی شدن پلاژیوکلازها هستند [۶].

فعالیت بالای یون H^+ و یون سولفات در محیط بهمنظور دگرسانی سنگ اولیه و ساخت اسفن است. تشکیل اسفن و اپیدوت در دمای ۳۴۰ درجه‌ی سانتی‌گراد به صورت واکنش زیر است [۸]:



طی دگرسانی، کانی‌های بیوتیت و فلدسپات، تیتان و کلسیم آزاد شده و در ساختار اسفن جا گرفته‌اند. شیمی این کانی متفاوت بوده و با پارامترهای گستردۀ مثل دما، فشار،

شیمی کانی اسفن تیتانیت یک فاز کانیایی معمول در اغلب سنگ‌های آذرین اسید، حدواتر و سنگ‌های پلوتونیک قلیایی است، اسفن موجود در محیط‌های آذرین غالباً شکل دارند ولی در محیط‌های دگرگونی از جمله در شرایط دگرسانی به صورت بی‌شکل و در ابعاد کوچک ظاهر می‌شود. در شرایط دگرسانی، به‌ویژه در دگرسانی‌های گرمابی، اسفن می‌تواند طی دگرسانی فلدسپات‌ها و بیوتیت‌ها تشکیل شود، تشکیل اسفن در این محیط‌ها بیانگر

پسا ماگماتیسم بوده و طی فرایند دگرسانی گرمابی تشکیل شده است. بررسی‌های آزمایشگاهی تیتانیت روشن کرده است که Al, Fe موجود در این کانی به صورت مثبتی با فشار همخوانی و با دما رابطه‌ی منفی دارد [۱۲]. در بسیاری از اسفن‌ها با خاستگاه دگرگونی با افزایش TiO_2 اکسیدهای Al, Fe کاهش می‌یابند. نسبت Ca/Al آبگون حضور یا عدم حضور اسفن را در سنگ کنترل می‌کند [۱۳]، فعالیت بیشتر Ca در آبگون برای متبلور شدن اسفن مناسب است و فوگاسیته اکسیژن طی فرایند دگرسانی به تشکیل اسفن وابسته است، در فوگاسیته‌ی بالا Fe جایگزین Ti می‌شود و منجر به تشکیل اپیدوت می‌شود [۱۴].

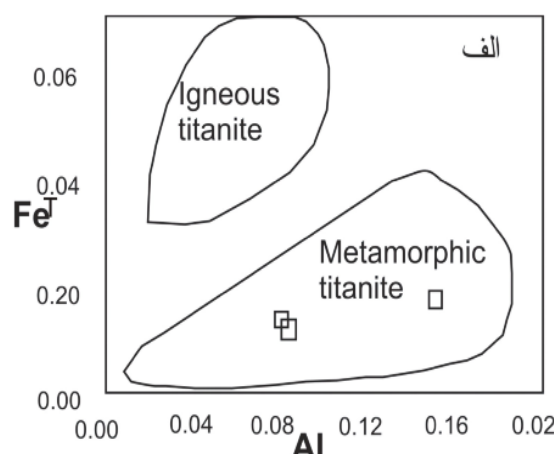
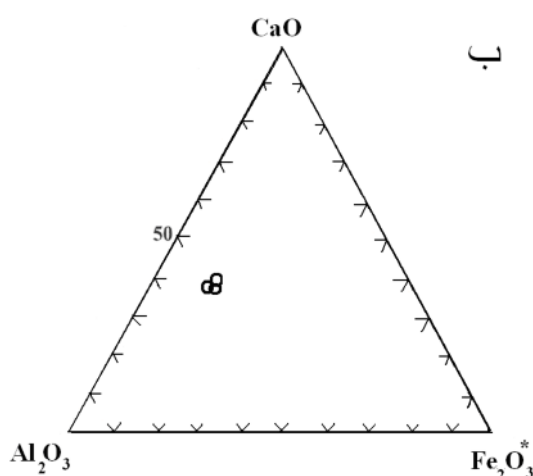
فوگاسیته‌ی اکسیژن و آب کنترل می‌شود [۹]. اسفن دارای فرمول کانی شناسی $CaTiSiO_5$ بوده، ولی ترکیب شیمیایی آن با ترکیب ایده‌آل تفاوت دارد و کاتیون‌های دیگری نیز در ساختار اسفن حضور دارند. نظر به این که تشخیص اسفن‌های ماقمایی از اسفن‌های دگرگون در پاره‌ای موارد مورد تردید است، با توجه به میزان Al، موجود که جایگزین کلسیم و تیتان می‌شوند، خاستگاه اسفن‌ها یعنی آذرین یا دگرگونی بودن را می‌توان مشخص کرد [۱۰، ۱۱]. لذا فرمول ساختاری اسفن بر اساس ۵ اکسیژن و ۳ کاتیون محاسبه شد و نتایج در جدول-های (۴، ۵) آورده شده‌اند. با استفاده از پارامترهای یاد شده، نمونه‌ها در گستره‌ی دگرگونی واقع شده‌اند [۱۰، ۱۱] (شکل-۴الف)، در نتیجه کانی تیتانیت در زون پروپلیتیک ناشی از فرایند

جدول ۴ درصد اکسیدهای اصلی در کانی اسفن.

sample	SiO_2	TiO_2	Al_2O_3	FeO	MnO	MgO	CaO	Na_2O	K_2O	P_2O_5	Total
S-1	۳۰,۵۲	۳۴,۶۷	۲,۷۲	۰,۴۶	۰,۰۰	۰,۰۰	۲۸,۶	۰,۰۰	۰,۰۰	۰,۰۱	۹۷,۰۸
S-2	۳۰,۳۶	۳۵,۱۶	۲,۵۱	۰,۰۷	۰,۰۱	۰,۰۰	۲۸,۸	۰,۰۰	۰,۰۰	۰,۰۲	۹۶,۹۲
S-3	۳۰,۸۱	۳۲,۹۲	۴,۱۱	۰,۰۰	۰,۸	۰,۰۱	۲۸,۹	۰,۰۲	۰,۰۱	۰,۰۲	۹۷,۶۳

جدول ۵ محاسبه‌ی فرمول ساختاری کانی اسفن بر اساس ۵ اکسیژن و ۳ کاتیون.

sample	Si	Ti	Al	Fe^{2+}	Mn	Mg	Ca	Na	K	P	Sum_cat
S-1	۱,۰۲	۰,۸۷	۰,۱۱	۰,۰۱	۰,۰۰	۰,۰۰	۱,۰۳	۰,۰۰	۰,۰۰	۰,۰۰	۳,۰۵
S-2	۱,۰۲	۰,۸۸	۰,۰۹	۰,۰۰	۰,۰۰	۰,۰۰	۱,۰۴	۰,۰۰	۰,۰۰	۰,۰۰	۳,۰۴
S-3	۱,۰۳	۰,۸۲	۰,۱۶	۰,۰۲	۰,۰۰	۰,۰۰	۱,۰۳	۰,۰۰	۰,۰۰	۰,۰۰	۳,۰۷



شکل ۴ الف-نمودار جدایش اسفن [۱۲]، بر اساس فاکتورهای Fe, Al اسفن‌ها ناشی از دگرگونی هستند. ب- نمودار تعیین ترکیب پرهنیت [۱۷]، بنابراین نمودار پرهنیتها از غنی شدی پایین آهن برخوردار بوده و به قطب آلومینیوم نزدیکند.

شده است [۱۸]. موقعیت کانی‌های پرهنیت در شکل (۴-ب) نشان داده شده است، و چنانکه دیده می‌شود نمونه‌ها به قطب آلومینیوم نزدیک بوده و غنی شدگی کمی از آهن نشان می‌دهند. اپیدوت و پرهنیت در سنگ‌هایی با محدوده‌ی دما و فشار پائین، در حدود ۳۲۰ درجه سانتی‌گراد و فشار ۱۳۰ اتمسفر تشکیل می‌شوند [۱۶].

ژئوشیمی

نظر به این که اکسیدهای عناصر اصلی در اثر عملکرد فرایندهای پسا ماقماتیسم از جمله در اثر فرایندهای دگرسانی دستخوش تغییر می‌شوند و غنی شدگی و تهی شدگی گسترده‌ای نشان می‌دهند، لذا استفاده از آن‌ها به منظور تشخیص فرایندهای ژئوشیمیایی و شناسایی خاستگاه آن‌ها با تردید مواجه می‌شود. برای پیشگیری از این مورد می‌توان از عناصر کمیاب استفاده کرد که کمتر دستخوش تغییر می‌شوند، ولی REE ها می‌توانند با آبگون‌های غنی از F^- , Cl^- , HCO_3^- , CO_3^{2-} , HPO_4^{2-} , PO_4^{3-} و ترکیب‌هایی با لیگاندهای گفته شده به حرکت درآیند. این عناصر به دلیل کاهش یکنواخت رفتارهای ژئوشیمیایی خود هستند و این ویژگی‌ها خصوصیات اندازه‌ی یونی با افزایش عدد اتمی، دارای اختلاف کوچکی در باعث می‌شود تا در اثر برخی فرایندهای زمین‌شناسی از یکدیگر جدا شوند [۱۹] و بدین وسیله می‌توان به ژنز مجموعه‌های سنگی و ماهیت فرایندهای زمین‌شناسی پی برد. برای بررسی رفتار عناصر طی دگرسانی سعی شده است که نمونه‌ها

شیمی کانی پرهنیت

یکی دیگر از کانی‌های تشکیل شده طی دگرسانی گرمابی در منطقه، کانی پرهنیت است. این کانی طی دگرسانی پلازیوکلازهای بازی منطقه حاصل شده است. کانی پرهنیت در مقاطع دارای بافت شعاعی بوده و از ضربی شکستی پایینی برخوردار است، صرف نظر از این که پرهنیت اغلب در شرایط دگرگونی تشکیل می‌شود ولی در محیط‌های دگرسانی نیز امکان تشکیل این کانی وجود دارد. تشکیل کانی آلومینوسیلکاته کلسیم‌دار هیدراته در منطقه بیانگر دما و فشار کم در فرایندهای دگرسانی است [۷]. پرهنیت در مقاطع نازک شباهت بسیار نزدیکی با کلریت‌های ناشی از دگرسانی بیوتیت ها (اغلب به صورت شعاعی) دارد، لذا از آنالیز نقطه‌ای به استفاده شده و مورد شناسایی قرار گرفته است. پرهنیت دارای فرمول ساختاری $Ca_2Al(AlSi_3O_{10})(OH)_2$ است، و فرمول ساختاری آن بر اساس ۱۱ اکسیژن و ۷ کاتیون مورد محاسبه قرار گرفته، و نتایج حاصل از محاسبه در ادامه آورده شده‌اند (جدول ۶). آهن از کاتیون‌هایی است که می‌تواند در ساختار پرهنیت جایگزین شود، قابلیت جایگیری Fe^{3+} در موقعیت هشت وجهی، ساختار پرهنیت بسیار متفاوت است و به‌طور کلی با افزایش دما کاهش می‌یابد [۱۵]. حضور پرهنیت در محیط بیانگر پایین بودن فوگاسیته اکسیژن است [۱۶]. میزان آهن موجود در ساختار پرهنیت‌ها متفاوت است، و برای بررسی و تشخیص میزان آهن می‌توان از نمودار CaO - Al_2O_3 , Fe_2O_3 - Al_2O_3 استفاده کرد [۱۷]. برای این منظور FeO تبدیل به Fe_2O_3 جدول ۶. درصد اکسیدهای اصلی در کانی پرهنیت.

sample	SiO_2	TiO_2	Al_2O_3	FeO	MnO	MgO	CaO	K_2O	P_2O_5	Total
P-1	۳۸,۹۳	۰,۰۳	۳۰,۲۹	۲,۹۱	۰,۲۴	۰,۰۰	۲۲,۹۱	۰,۰۱	۰,۰۳	۹۶,۳۵
P-2	۳۸,۷۶	۰,۰۰	۳۰,۰۶	۲,۵۷	۰,۰۹	۰,۰۰	۲۲,۹۳	۰,۰۱	۰,۰۲	۹۵,۴۴
P-3	۳۸,۵۳	۰,۰۰	۲۹,۳۷	۰,۰۰	۳,۵۰	۰,۱۱	۲۲,۶۴	۰,۰۰	۰,۰۰	۹۸,۳۷

جدول ۷ محاسبه‌ی فرمول ساختاری پرهنیت بر اساس ۱۱ اکسیژن و ۷ کاتیون.

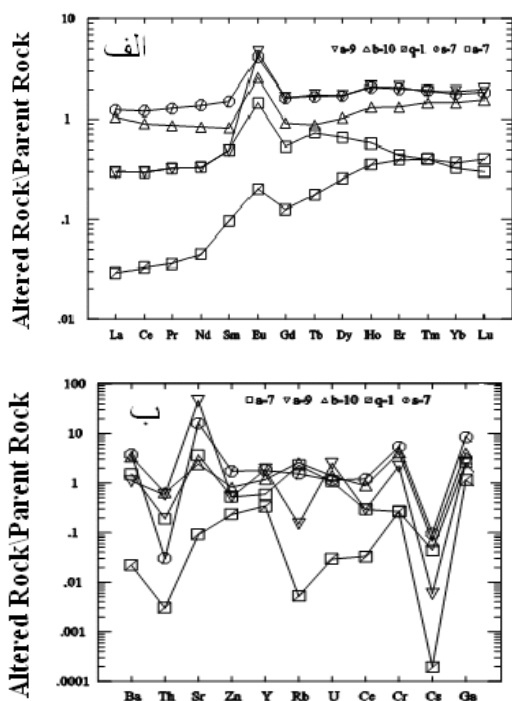
sample	Si	Ti	Al	Fe^{+2}	Mn	Ca	K	P	Sum	cat
P-1	۲,۶۸	۰,۰۰۱	۲,۴۵	۰,۱۶۸	۰,۰۱۴	۱,۷۶	۰,۰۰۱	۰,۰۰۲	۷,۰۰۸	
P-2	۷,۰۸	۰,۰۰	۲,۴۵	۰,۱۴۹	۰,۰۰۵	۱,۷۷	۰,۰۰۱	۰,۰۰۱	۷,۰۸	
P-3	۲,۶۹	۰,۰۰	۲,۴۲	۰,۱۲۰	۰,۰۰۶	۱,۷۷	۰,۰۰	۰,۰۰	۷,۰۹۵	

غنى شدگی برخی عناصر شود. REE های سبک در فاز آبگون پایدارند و REE های سنگین با کمپلکس‌ها در PH پایین در دماهای بالا پایدارند [۲۱]. بهمنظور بررسی‌های بیشتر گرانیت‌های تورمالین دار به صورت جداگانه به سنگ مادر بهنجارشده‌اند تا حرک عناصر طی دگرسانی تعیین شود. بر این اساس عناصر سبک دارای گردهی نسبتاً مسطحی بوده و غنى شدگی کمتر از ۱ را نشان می‌دهند، غنى شدگی از عناصر Tb, Lu کمتر از ۱ را نشان می‌دهند، غنى شدگی از عناصر Tb, Lu نشانگ تحرک پایین این عناصر طی دگرسانی است (شکل ۶). برای مقایسه تغییرات اکسیدهای اصلی طی دگرسانی‌های مختلف، از محاسبات تغییرات اکسیدها استفاده شد، برای این منظور از اکسید کم تحرک Al₂O₃ استفاده شده است [۲۳-۲۶]:

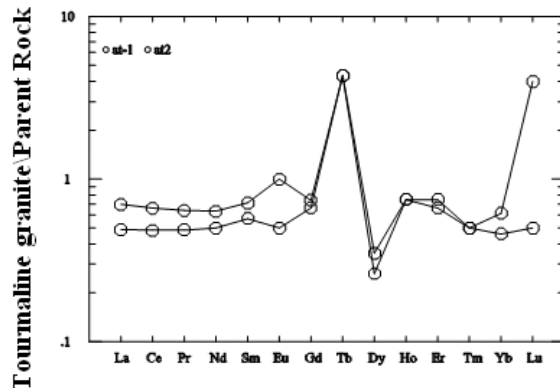
$$\Delta_i = \frac{\frac{(C_{AL_2O_3}^P * C_i^D)}{C_{AL_2O_3}^D} - C_i^P}{C_i^P} * 100$$

در این فرمول میزان Δ_i برای اکسیدهای مختلف در زون‌های موجود محاسبه شده است، که در آن C^P_{Al₂O₃} میزان اکسید Al₂O₃ در سنگ مادر و C^D_{Al₂O₃} میزان اکسید در سنگ دگرسان، و نیز C^P_i تمرکز اکسید i در سنگ مادر و C^D_i تمرکز اکسید i در نمونه‌های دگرسان را نشان می‌دهد. Δ_i برای اکسیدهای اصلی محاسبه شده و نتایج حاصل در نمودار ستونی رسم شده است (شکل ۷). بر این اساس اکسید TiO₂ طی دگرنهادی بر کاهش یافته ولی در زون‌های سیلیسی و فیلیک افزایش پیدا کرده است، در حالی که در زون پروپلیتیک این اکسید تحرک نیافته است. MgO در تمام زون‌ها و MnO به جز زون سیلیسی در زون‌های دیگر کاهش یافته است. میزان اکسید Na₂O در تمام دگرسانی‌ها به جز زون فیلیک افزایش یافته که نمایان گر اسیدی شدن پلاژیوکلازها و آلبیتی شدن آنهاست که منجره افزایش اکسید کلسیم در زون پروپلیتیک شده است. اکسید K₂O در دو زون سیلیسی و پروپلیتیک کاهش و در دو زون دیگر افزایش یافته است، به دلیل گستره‌ی گستردگی SiO₂ در زون سیلیسی از آوردن این اکسید خودداری شده است. این اکسید در سه زون دگرسان یاد شده افزایش یافته و تنها در زون پروپلیتیک برابر با سنگ اولیه است (جدول ۸).

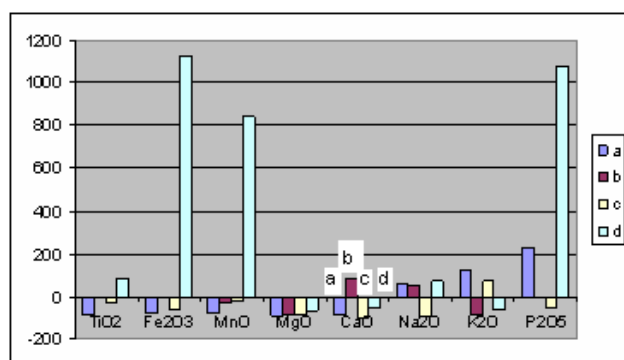
به سنگ مادر اولیه بهنجار شوند تا روند تغییرات در نمونه‌های دگرسان نسبت به سنگ مادر مورد بررسی قرار گیرد. بهمنظور آگاهی از تغییرات در طول دگرنهادی و تشکیل تورمالین ناشی از دگرسانی، گرانیت‌های تورمالین دار به سنگ مادر بهنجار شده‌اند تا تغییرات عناصر کمیاب طی این دگرسانی مشخص شود. با توجه به بهنجارسازی نمونه‌های دگرسان نسبت به سنگ مادر، تمامی نمونه‌ها دارای بی‌هنجاری مثبت Eu هستند (شکل ۵ الف)، تهی شدگی از Eu بیانگر دمای بالاست [۲۰]. الگوی بهنجارسازی عناصر کمیاب سبک و سنگین به سنگ مادر برای دگرسانی‌های فیلیک، سیلیسی، پروپلیتیک و دگرنهادی ترسیم شده است (شکل ۵-الف) بر این اساس در دگرسانی پروپلیتیک عناصر سنگین تهی شدگی چشم‌گیری را نشان نمی‌دهند، این تحرک پایین به بالا بودن PH و نسبت پایین آب به سنگ وابسته است. دگرسانی سیلیسی نشان دهنده‌ی تهی شدگی چشم‌گیری از عناصر کمیاب سبک است، در حالی که دگرنهادی یا تورمالین زایی منجره غنى شدگی بیشتر عناصر کمیاب سنگین نسبت به سنگ مادر شده است. لازم به یادآوری است که گرانیت تقریباً نادگرسان، الگوی نسبتاً مسطحی را نشان می‌دهد. کاهش شدید عناصر کمیاب بیانگر شکسته شدن کانی‌های اولیه و اسیدی شدن محیط است، در PH های پایین و دماهای کمتر از ۵۰۰ درجه‌ی سانتی‌گراد نقش کمپلکس‌های SO₄²⁻, Cl⁻, F⁻, حضور سولفور و شرایط اکسایش به عنوان عوامل تحرک عناصر در زون سیلیسی هستند و منجره تهی شدگی عناصر شده‌اند [۲۱]. از زون پروپلیتیک به زون فیلیک با کاهش K⁺ و افزایش H⁺ تمام عناصر کمیاب دستخوش تهی شدگی می‌شوند ولی تهی شدگی در عناصر کمیاب سبک بیشتر از سنگین است [۲۲]. براساس نمودارهای چند عنصر که بهمنظور مقایسه این عناصر با سنگ اولیه ترسیم شده‌اند، عناصر Th, Cs, Rb دستخوش تهی شدگی و عناصر Sr, Y, Cr, Ga دستخوش غنى شدگی شده‌اند (شکل ۵-ب) این غنى شدگی در واقع ناشی از مقاوم بودن و تهی نشدن این عناصر طی دگرسانی است. کاهش Cs, Rb می‌تواند به تجزیه بیوتیت وابسته باشد، افزایش Sr به ویژه در زون پروپلیتیک به دلیل تجزیه‌ی کانی‌هایی از قبیل پلاژیوکلاز و تشکیل کانی‌های جدید حاوی Ca است. تغییر ترکیب شاره از H₂O به غنى از SiO₂، یا افزایش دما و حجم شاره‌ها، عناصر نامتحرك را می‌تواند به حرکت درآورد و منجر به تهی شدگی یا



شکل ۵ الف- نمودار عناصر کمیاب بهنجار شده به سنگ مادر برای زون‌های مختلف. ب- نمودار چند عنصره بهنجارشده به سنگ مادر نادگرسان، که بیانگر تهی شدگی عناصر Th, Rb, Cs طی دگرسانی است.



شکل ۶ نمودار بهنجارسازی گرانیت‌های تورمالین‌دار به سنگ اولیه، که بر این اساس عناصر کمیاب سنگین نسبت به سنگ والد غنی‌شدگی نشان می‌دهند.



شکل ۷ نمودار ستونی اکسیدهای اصلی نمونه‌های دگرسان نسبت به سنگ مادر اولیه، MgO تنها اکسید تهی شده در هر چهار زون است (a دگرنهادی بر، b پروپلیتیک، c فیلیک و d سیلیسی، تغییرات اکسیدها در هر چهارزون به ترتیب بررسی شده‌اند)

جدول ۸ آنالیز شیمی سنگ کل (به ترتیب پروپیلیتیک (a-7)، دگرنهادی بور (a-9)، فیلیک (b-10)، سیلیسی (q-1)، فیلیک (s-7)، گرانیت (as-1) و تورمالین گرانیت (at-1, at-2)).

sample	a-7	a-9	b-10	q-1	s-7	As-1	at-1	at-2
SiO ₂	۷۲,۷۰	۶۳,۷۰	۷۲,۴۰	۹۷,۰۰	۶۳,۱۰	۶۷,۷۶	۷۳,۳۶	۷۳,۱۶
TiO ₂	۰,۰۸	۰,۴۹	۰,۳۳	۰,۰۱	۰,۵۱	۰,۴۱	۰,۱۳	۰,۱۴
Al ₂ O ₃	۱۷,۴۰	۱۴,۲۵	۱۵,۷۵	۱۵,۲۵	۰,۱۷	۱۵,۸۰	۱۴,۴۵	۱۴,۴۱
Fe ₂ O ₃	۱,۱۴	۰,۰۱	۲,۲۴	۰,۸۸	۵,۶۴	۳,۲۵	۳,۰۴	۲,۶۰
MnO	۰,۰۲	۰,۰۷	۰,۸	۰,۰۱	۰,۱	۰,۰۳	۰,۰۴	۰,۰۳
MgO	۰,۲۱	۰,۴۱	۰,۴۲	۰,۰۱	۲,۶۶	۲,۶۶	۰,۸۳	۱,۲۸
CaO	۰,۵۶	۸,۱۰	۰,۱۸	۰,۰۲	۴,۴۳	۳,۴۸	۰,۲۹	۱,۲۶
Na ₂ O	۳,۹۷	۴,۱۵	۰,۲۲	۰,۰۵	۲,۷۸	۴,۰۲	۳,۱۲	۲,۶۹
K ₂ O	۴,۹۱	۳,۳۳	۴,۰۲	۰,۰۱	۲,۴۹	۲,۸۵	۲,۳۹	۱,۹۱
P ₂ O ₅	۰,۳۵	۰,۱۱	۰,۰۶	۰,۰۱	۰,۱۲	۰,۱۱	۰,۱۸	۰,۱۵
LOI	۰,۸۸	۱,۱۷	۲,۷۹	۰,۰۰	۱,۰۰	۱,۳۴	-	-
Rb	۱۷۱	۱۱,۳	۱۹۳	۰,۴۰	۱۱۷	۷۸,۷	۹,۴۰	۶,۸۰
Cs	۴,۵۴	۰,۶۱	۶,۸۵	۰,۰۲	۹,۸۸	۱۲,۳	۰,۹	۰,۸۱
Sr	۴۳,۵	۵۴۳	۲۸,۸	۱,۱	۱۹۲	۲۶,۲	۲,۴۰	۰,۷۰
Ba	۱۲۲	۸۹	۲۷۱	۱,۸	۳۰۴	۹۳	۱۷,۵	۱۱,۸
Th	۳,۱۶	۹,۶۸	۱۰,۵	۰,۰۵	۰,۵۰	۷,۹۰	۱۲	۱۱
U	۱,۸۳	۴,۲۱	۲,۴۵	۰,۰۵	۱,۹	۱,۳	۱,۵	۱,۵
Cr	۱۰	۸۰	۱۵۰	۱۰	۲۰۰	۱۸,۱	۸,۲	۶,۳
Co	۱	۲۰,۱	۴,۳	۰,۷	۱۷	۹,۲	۲,۳	۱,۹
Zn	۱۸	۱۸	۲۸	۸	۵۹	۲۲,۶	۵,۱	۸,۷
Ga	۱۸	۱۸	۲۸	۷	۵۶	۴,۵۷	۱,۱۲	۱,۴۶
Y	۷	۲۲,۳	۱۴,۲	۴,۱۱	۲۱,۸	۱۰,۴	۶,۶۷	۸,۹۴
La	۵,۱	۲۴,۲	۱۸	۰,۵	۲۱,۱	۱۸,۶	۱۲	۸,۴۰
Ce	۱۰,۷	۴۸,۳	۳۲,۷	۱,۲۰	۴۲,۸	۳۷	۲۴,۲	۱۷,۶
Pr	۱,۲۵	۰,۵	۳,۳۵	۰,۱۴	۴,۹۶	۴	۲,۵	۱,۹
Nd	۴,۴	۲۰,۵	۱۱,۱۲	۰,۶	۱۸,۴	۱۴,۱	۸,۴	۶,۵
Sm	۱,۳۷	۴,۴۸	۲,۲۹	۰,۲۷	۴,۱۹	۲,۶۰	۱,۸	۱,۷
Eu	۰,۴۲	۲,۴۵	۱,۸۹	۰,۴۸	۲,۳۱	۰,۲	۰,۲	۰,۱
Gd	۱,۴۳	۴,۴۴	۲,۴۷	۰,۳۴	۴,۳۸	۲,۷	۱,۹	۱,۷
Tb	۰,۲۹	۰,۷۰	۰,۳۵	۰,۰۷	۰,۶۷	۰,۳	۰,۲	۰,۲
Dy	۱,۵	۳,۹۳	۲,۳۴	۰,۵۸	۳,۹۱	۲,۰	۱,۶	۱,۷۵
Ho	۰,۲۳	۰,۸۵	۰,۵۲	۰,۱۴	۰,۸۳	۰,۳	۰,۴	۰,۳
Er	۰,۵۳	۲,۵	۱,۵۷	۰,۴۷	۲,۴۱	۱	۰,۸	۰,۹
Tm	۰,۰۸	۰,۳۸	۰,۲۹	۰,۰۸	۰,۳۹	۰,۱	۰,۲	۰,۱
Yb	۰,۴۲	۲,۲۴۵	۰,۸۹	۰,۴۹	۲,۳۱	۰,۸	۰,۵	۰,۸
Lu	۰,۰۶	۰,۴	۰,۳۱	۰,۰۸	۰,۳۷	۰,۲	۰,۱	۰,۱

- [5] Montoya J. W., Hemley J. J., "relations and stabilities in alkali feldspar and mica alteration reactions", *Economic Geology*, 70 (1975) 577-594.
- [6] مظاہری ا., "اهمیت پیستاشیت در تشخیص نوع اپیدوت"، ششمین همایش بلورشناسی و کانی شناسی ایران، دانشگاه علم صنعت تهران (۱۳۷۸).
- [7] Armbruster T., Bonazzi P., Akasaka M., Bemanec V., Heuss S., "Recommended nomenclature of epidote group-minerals", *Eur. J. Mineral.* 18 (2006) 551-567.
- [8] Deer W., Howie A., Zussman J., "An introduction to the rock forming minerals", Secend editions, Longman, London, (1992) 760.
- [9] Eggleton R., Banfield J. F., "The alteration of biotite to chlorite", *American Mineralogist*, 70 (1985) 902-910.
- [10] Harlov D., Seifert P., Nijland W., Forster H., "Formation of Al-rich titanite reaction rims on ilmenite in metamorphic rocks of fo_2 and f_{H2O} ", *Lithos* 88 (2006) 72-84.
- [11] Osman Mohamad Y., Maekawa H., "Orgion of titanite in metarodingite from the Zagros thrust zone, Iraq". *American Mineralogist*, 930 (2008) 1133-1141.
- [12] Kowallis B. J., Christiansen E. H., Griffen D. T., "Composition variation in titanite", *Geological Society of American Abstracts with programs*, (1997) 29-44.
- [13] Smith D. C., "The pressure temperature dependence of Al-solubility in sphene in the system Ti-Al-Ca-O-F", *Progress of Experimental Petrology*, 18 (1981) 193-197.
- [14] Frost B. R., Chamberlain K. R., Schumacher J. C., "Sphene phase relations and role as a geochronometr", *Chemical Geology*, 172 (2000) 131-148.
- [15] Bird D. K., Schiffmean P., Williams W. A., "Calc-silicate mineralization active geothermal systems". *Econ Geol.* 79 (1984) 671-695.
- [16] Liou J. G., Kim H. S., Marugama S., "Prehnite- epidote equilibria and their petrologic applications", *J. Petrol.* 24 (1983) 321-342.
- [17] Wheeler R., Browne S., Rodsers K. A., "Iron rich and iron poor prehnites from the way Linggo epithermal Au-Ag deposit, southwest Sumatra and Heber geothermal field, California", *Mineralogical Magazine*, 65 (2001) 206-394.

برداشت

دگرسانی پروپلیتیک پس از دگرسانی فیلیک دومین دگرسانی غالب در گرانیت‌وید آستانه است، نوع کانی‌های این زون با در نظر گرفتن دما، ترکیب کانی‌شناسی سنگ اولیه و ترکیب محلول شامل: اپیدوت، کلریت، کوارتز، اسفن، پرهنیت و پیریت است.

اسفن‌های موجود در زون دگرسان بر اساس Al, Fe جایگزین شده در ساختار این کانی ناشی از فرایند دگرسانی است. محاسبه‌ی فرمول ساختاری کانی پرهنیت بیانگر غنی شدگی پایین این کانی از آهن و نزدیک بودن آن به قطب آلومینیوم است، این ویژگی‌ها نشانگر دمای پایین تشکیل کانی پرهنیت در دگرسانی پروپلیتیک‌اند.

بهنجارسازی نسبت به سنگ مادر نشان دهنده‌ی تهی-شدگی از عناصر کمیاب در سنگ‌های دگرسان است و تهی-شدگی از زون پروپلیتیک به زون فیلیک افزایش می‌یابد، تهی-شدگی برای عناصر کمیاب سنگین در زون پروپلیتیک نسبتاً ناچیز بوده و نشانگر تحرک پایین این عناصر طی دگرسانی است.

بررسی تغییرات اکسیدهای اصلی نسبت به اکسید کم تحرک آلومینیوم نشان می‌دهد که MgO در تمام زون‌های دگرسانی دستخوش تهی شدگی شده و Na_2O , K_2O در اغلب دگرسانی‌ها افزایش یافته‌اند. CaO طی دگرسانی پروپلیتیک افزایش یافته و علت آن، تجزیه‌ی پلاژیوکلازها و تشکیل کانی‌های ثانویه کلسیم‌دار از قبیل اپیدوت و پرهنیت است.

مراجع

- [۱] افشاریان زاده ع. م، صهباei م، "نقشه زمین‌شناسی ۱:۲۵۰۰۰۰۰ خرم‌آباد، سازمان زمین‌شناسی" (۱۳۷۱).
- [۲] رادفر ج، "بررسی زمین‌شناسی و پترولوژی سنگ‌های گرانیت‌ویدی ناحیه آستانه‌گوشه" (پایان‌نامه کارشناسی ارشد)، دانشگاه تهران (۱۳۶۶) ۱۰۹ ص.
- [۳] افشوی ز، "بررسی دگرسانی گرانیت آستانه (پایان‌نامه کارشناسی ارشد)"، دانشگاه تهران (۱۳۸۶) ۱۲۳ ص.
- [۴] Mayer C., Hemly J. J., "Wall rock alteration in Geochemistry of hydrothermal ore deposits", (1967) 166-235.

- systems in northern Turkey: the temporal interplay of potassic, propylitic and phyllitic fluids", Journal Earth Sci. 17 (1980) 901-926.*
- [23] Nessbitt H. V., Young G. M., "Early proterozoic climate and plate motions inferred from major element", chemistry of lutites, nature. 299 (1982) 715-717.
- [24] Altaner S. P., Ylagan S., Savin S., Aronson J. L., Pozzuoli A., "Geothermal geochronology and mass transfer associated with hydrothermal alteration of rhyolitic hyaloclastite from Ponaza Island", Italy. Geochemica and Cosmochimical, Acta. 70 (2003) 275-278.
- [25] Maclean W. H., "Mass change calculations in altered rocks series", Mineralium deposita, 250 (1990) 44-49.
- [26] Maclean W. H., Barrett T. J., "Litho geochemical techniques using immobile elements", Geochemica Exploration, 48 (1993) 109-133.
- [18] Myashiro A., "Classification, characteristics and origin of ophiolites", J. Geol, 83(1975) 249-260.
- [19] Rollinson H. R, "Using geochemical data : evalution, presentation, interpretation", NewYork, John wiely and sons .(1993) 352.
- [20] Fulignatti P., Gioncada A., Sabranna A., "Rare earth element behaviour in the alteration facies of the active magmatic-hydrothermal systems of volcano", Journal of volcanology and geothermal research, 88 (1998) 625-342
- [21] Lewis A. J., Palmer M. R., Sturchio A. J., "The rare earth element geochemistry of acid-sulphate and acid-sulphate- chloride geothermal systems from Yellowstone national park, Wyoming, USA", Geo Chim Cosmochim. Acta, 61 (1997) 695-706.
- [22] Taylor R. F., Fryer B. J., "Multie stage hydrothermal alteration in porphyry copper